

تفکیک پذیری چندگانه‌ی رویه‌ها با توپولوژی دلخواه

به وسیله‌ی وارون نظریف «دو»

نظام‌الدین مهدوی امیری (استاد)

دانشکده‌ی ریاضی، دانشگاه صنعتی شریف

فرامرز فامیل سماواتی (استادیار)

بخش علوم کامپیوتر، دانشگاه کالجری، کانادا

تعیین وارون یک نظریف^۱ با استفاده از برازش کمترین مربعات سراسری منجر به ساختار تفکیک‌پذیری چندگانه‌ی می‌شود که می‌توان آن را یک سیستم موجک شبه‌متعامد تلقی کرد.^{۱۱} اما برای رسیدن به تفکیک‌پذیری چندگانه‌ی رویه‌ها با توپولوژی دلخواه باید از موجک‌های دو متعامد^۲ استفاده کرد. گاهی برای وارون نظریف منحنی‌ها و رویه‌های تانسوری از برازش کمترین مربعات موضعی استفاده شده است که به سیستم موجک دو متعامد منجر می‌شود.^{۱۲} در اینجا با استفاده از وارون موضعی نظریف «دو» به ساختار تفکیک‌پذیری چندگانه‌ی رویه‌ها با توپولوژی دلخواه دست می‌یابیم. با نظریف «دو» یک رویه‌ی خشن به یک رویه‌ی ظریف تبدیل می‌شود. این عمل با انقباض وجود رویه‌ی خشن و افزودن تعدادی وجود جدید انجام می‌شود.

در این نوشتار، برای وارون نظریف «دو» در تبدیل یک رویه‌ی ظریف به رویه‌ی خشن و خطای وابسته به آن روشی ارائه می‌کنیم. در این فرایند ابتدا جوهی از رویه‌ی ظریف را می‌یابیم که می‌تواند از انقباض یک وجه خشن در روند نظریف «دو» ناشی شوند پس از آن وجود به دست آمده را منبسط می‌کنیم. چون در حالت کلی وجود انبساط‌یافته لزوماً بر هم منطبق نمی‌شوند. معمولاً چند نامزد برای هر رأس رویه‌ی خشن ایجاد می‌شوند. برای شناسایی نامزدها، نموداری می‌سازیم که نفوس هر مؤلفه‌ی همبندی آن را نامزدهای وابسته به یک رأس رویه‌ی خشن تشکیل دهند. برای تعیین مؤلفه‌های همبندی، از پیمایش اول سطح (عمق) در نمودار استفاده می‌کنیم. نهایتاً، هر رأس رویه‌ی خشن را میانگینی از نامزدهای وابسته به آن قرار می‌دهیم. نتایج حاصل، در فشرده‌سازی تصاویر رقمی و بازسازی مناسب آنها کاربرد دارد.

مقدمه

با استفاده از تعمیم ایده‌ی وارون موضعی^{۱۲}، مسئله‌ی تفکیک‌پذیری چندگانه‌ی رویه‌ها با توپولوژی دلخواه را حل کنیم. به همین منظور وارون نظریف «دو» را که یکی از نظریف‌های کارآمد رویه‌ها با توپولوژی دلخواه است، معرفی می‌کنیم.

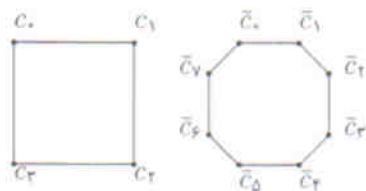
نظریف یکی از توانمندترین روش‌های تولید رویه و منحنی در گرافیک رایانه‌ی است. در این روش با استفاده از نظریف‌سازی متوالی نقاط کنترل، تقریب گسسته‌ی از مدل به دست می‌آورند. عمل نظریف معمولاً به وسیله‌ی یک ماتریس مشخص می‌شود. اگر C^k نقاط کنترلی در مرحله‌ی k ام و C^{k+1} نقاط حاصل از عمل نظریف روی C^k باشد، آنگاه داریم:

$$C^{k+1} = P^k C^k \quad (1)$$

که در آن C^k یک بردار s تایی، C^{k+1} یک بردار s تایی و P^k یک ماتریس $s \times s$ (که $s > 3$)، به نام ماتریس نظریف است. اگر چه P^k به مرحله‌ی k وابسته است، معمولاً یک ماتریس نواری است که چون

در تفکیک‌پذیری چندگانه هدف دسترسی به نمایشی است که در آن تقریب‌های مختلف یک مدل از نوع منحنی، تصویر یا رویه در اختیار باشد و به سادگی بتوان از طریق هر یک از این تقریب‌ها به تقریب‌های دیگر دست یافت. برای رسیدن به این هدف لازم است با عملیات بازگشت‌پذیر، تقریب ظریفی از مدل را در تفکیک‌پذیری بالا به تقریبی خشن از مدل در تفکیک‌پذیری پایین تبدیل کرد. بنابراین، در این تبدیل ذخیره‌سازی مناسب و فشرده برای اطلاعات حذف شده ضروری است. معمولاً از توابع موجک برای محاسبه‌ی تقریب اطلاعات حذف شده استفاده می‌کنند. عمل تبدیل تقریب مدل از تفکیک‌پذیری بالا به تفکیک‌پذیری پایین و تعیین ضرایب توابع موجک را «تجزیه» و عمل بازسازی تقریب اولیه را «ترکیب» می‌نامند.

مسئله‌ی تفکیک‌پذیری چندگانه‌ی رویه‌ها با توپولوژی دلخواه کاربردهای متنوعی در گرافیک رایانه‌ی دارد.^{۱۳} در اینجا می‌خواهیم



شکل ۱. مرحله‌ی اول نظریف تناوبی چیکین.

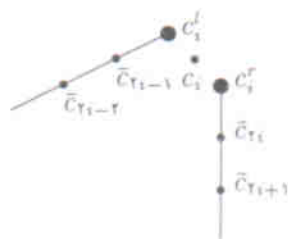
اکنون به منظور تعمیم این روش برای رویه‌ها با توپولوژی دلخواه، از نظریف «دو» استفاده می‌کنیم. از آنجا که نظریف «دو» تعمیم‌یافته‌ی نظریف چیکین است، ابتدا به چگونگی تعیین وارون موضعی نظریف چیکین به صورت هندسی می‌پردازیم.

نظریف چیکین^۲

نظریف چیکین یکی از نظریف‌های ساده و کارآمد است [۴] که از دیدگاه هندسی یک روش «گوشه‌برشی» محسوب می‌شود. مرحله‌ی اول نظریف چیکین در شکل ۱ مشاهده می‌شود (برای ساده‌سازی نماد C_i^k را به C_i و نماد C_i^{k+1} را به \bar{C}_i تبدیل کرده‌ایم). در این روش، ابتدا دو نقطه‌ی جدید بر روی هر پاره‌خط به نسبت‌های $\frac{1}{4}$ و $\frac{3}{4}$ تعیین می‌کنند و بعد نقطه‌ی دوم هر پاره‌خط را به نقطه‌ی اول پاره‌خط بعدی وصل می‌کنند. می‌توان نشان داد که نقاط حاصل از نظریف چیکین به یک منحنی بی‌اسپایان درجه‌ی دوم میل می‌کنند، و در نتیجه منحنی حدی این نظریف مشتق‌پذیر پیوسته C^1 است. [۵]

وارون موضعی نظریف چیکین

در عمل نظریف، فرض بر آن است که C_i ها داده شده‌اند و محاسبه‌ی \bar{C}_i ها مورد نظر است. در عمل وارون نظریف، به منظور دستیابی به یک تفکیک‌پذیری پایین از یک تفکیک‌پذیری بالاتر، فرض می‌کنیم که \bar{C}_i ها داده شده‌اند و می‌خواهیم C_i ها را به دست آوریم — لزومی ندارد که \bar{C}_i ها از یک عمل نظریف حاصل شده باشند. یک وضعیت ممکن در شکل ۲ ارائه شده است. مشاهده می‌کنیم که در وهله‌ی اول دو نامزد برای جانشینی C_i مطرح می‌شود. نامزد اول با استفاده از \bar{C}_{i-2}



شکل ۲. وضعیتی برای وارون موضعی نظریف چیکین.

ستون‌های آن (به‌استثنای چند ستون اول و آخر) از انتقال صفر در یک ستون ثابت به وجود می‌آیند. به سادگی قابل تولید است.

در تفکیک‌پذیری چندگانه معمولاً C^{k+1} ، تقریبی از مدل در تفکیک‌پذیری بالا، در دست است و فقط لازم است آن را به C^k ، تقریب مدل در تفکیک‌پذیری پایین، و E^k ضرایب موجک، تجزیه کنیم. در حالت کلی لزومی ندارد که C^{k+1} حاصل نظریف باشد. برای کارایی عوامل ساخته شده لازم است:

۱. C^k تقریب مناسبی از C^{k+1} باشد؛
۲. اندازه‌ی حافظه‌ی مورد نیاز برای ذخیره‌سازی C^k و E^k بیشتر از C^{k+1} نباشد؛
۳. مقدار زمان مورد نیاز برای عمل تجزیه‌ی C^{k+1} به C^k و E^k نسبت به C^k خطی باشد؛
۴. مقدار زمان مورد نیاز برای عمل بازسازی C^{k+1} از روی C^k و E^k نسبت به C^k خطی باشد.

عملیات تجزیه و ترکیب را می‌توان به صورت زیر نمایش داد: [۲]

$$\begin{bmatrix} A^k \\ B^k \end{bmatrix} C^{k+1} = \begin{bmatrix} C^k \\ E^k \end{bmatrix} \quad (2)$$

$$\begin{bmatrix} P^k & Q^k \end{bmatrix} \begin{bmatrix} C^k \\ E^k \end{bmatrix} = C^{k+1}, \quad (3)$$

$$\begin{bmatrix} A^k \\ B^k \end{bmatrix} \begin{bmatrix} P^k & Q^k \end{bmatrix} = I \quad (4)$$

بنابراین، اگر ماتریس‌های A^k, B^k, P^k, Q^k نمودارهای مناسبی داشته باشند، انجام تجزیه (رابطه‌ی ۲) و ترکیب (رابطه‌ی ۳) به سادگی انجام می‌پذیرند. در کاربردها فقط P^k ساختار معلوم و مناسبی دارد ولی ساختار ماتریس‌های A^k, B^k, Q^k به روش مورد استفاده بستگی دارند. در عمل، ویژگی‌هایی مانند نواری بودن با طول نوار کوتاه، و سادگی درایه‌های این ماتریس‌ها مد نظر قرار می‌گیرد. گاهی این ماتریس‌ها با استفاده از وارون نظریف به دست آمده‌اند. [۱] در این موارد که از برآزش کمترین مربعات^۳ (LS) استفاده شده است، اگر چه در رهیافت ارائه شده مستقیماً به A^k و B^k نیازی نیست، این ماتریس‌ها معمولاً پر هستند. [۱] به علاوه در حل مسئله‌ی LS برای تفکیک‌پذیری چندگانه‌ی رویه‌ها با توپولوژی دلخواه (غیر تانسوری) با دستگاهی با ماتریس ضرایب پرحصفر (نه لزوماً نواری) مواجه می‌شویم. در نتیجه امکان خطی بودن عمل تجزیه از بین می‌رود.

ما با استفاده از وارون موضعی نظریف، A^k و B^k را به صورت نواری برای منحنی‌ها و رویه‌های تانسوری به دست آورده‌ایم. [۲]

جدید» انجام می گیرد. برای مثال در شکل ۴ رویه ی اولیه دارای دو وجه f_1 و f_2 است. f_1 و f_2 در مرحله ی اول از انقباض f_1 و f_2 به دست می آیند و در مرحله ی بعد به وسیله \tilde{f}_1 به هم متصل می شوند.

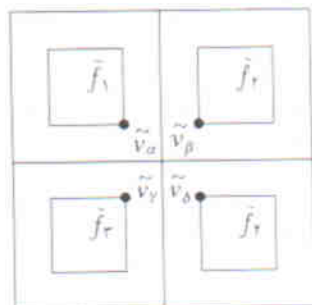
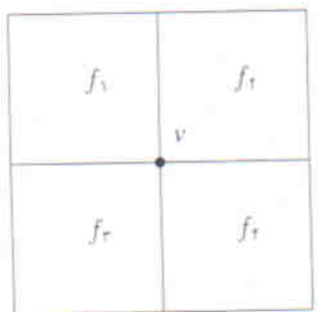
برای شرح دقیق این نظریه، فرض کنید (F, V) یک رویه ی وجه بندی شده با توپولوژی دلخواه باشد، که در آن V رئوس و F وجوه رویه را مشخص می کند. هر رأس $v \in V$ به وسیله مختصات آن در فضا و هر وجه به وسیله دنباله ی رئوس متوالی وابسته به آن وجه معلوم می شود. مجموعه E را مجموعه ی یال های (F, V) در نظر می گیریم. می خواهیم (NF, NV) رویه ی حاصل از نظریه رویه ی (F, V) را معرفی کنیم. ابتدا هر وجه $f_i \in F$ را چنان به وجه جدید $\tilde{f}_i \in NF$ تبدیل می کنیم که اگر $f_i = (v_1, v_2, \dots, v_n)$ آنگاه:

$$\tilde{f}_i = (\tilde{v}_1, \tilde{v}_2, \dots, \tilde{v}_n)$$

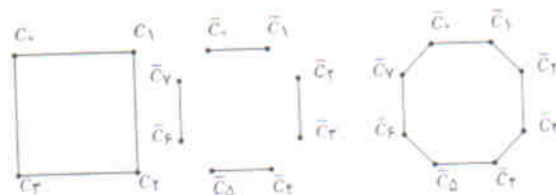
که در آن \tilde{v}_j ها از انقباض v_j نسبت به مرکز d در وجه f_i به دست می آیند، یعنی:

$$\begin{cases} \tilde{v}_j = a_n d + (1 - a_n) v_j \\ d = \frac{1}{n} (v_1 + v_2 + \dots + v_n). \end{cases} \quad (5)$$

در رابطه ی ۵ مقدار a_n چنان بین صفر و یک انتخاب می شود که رویه ی حدی C^1 (هموار) باشد. [۶] پس از انجام این عمل، \tilde{v}_j های حاصل از همه ی وجوه، مجموعه ی رئوس جدید یعنی NV را تشکیل می دهند. توجه داریم که هر رأس $v \in V$ به k تعداد وجوه متصل به v ، رئوس جدید NV متناظر می شود (شکل ۵). مجموعه ی وجوه جدید NF به سه نوع زیر تقسیم می شود:



شکل ۵. تبدیل v به $\tilde{v}_\alpha, \tilde{v}_\beta, \tilde{v}_\gamma, \tilde{v}_\delta$.



شکل ۳. نمایش دو مرحله یی قاعده ی چیکین.



شکل ۴. یک نظریه ساده «دو».

۱. \tilde{c}_i تعیین می شود که آن را با c_i نمایش می دهیم. با استفاده از \tilde{c}_i و c_i نامزد دوم، c_i' تعیین می شود.

واضح است که اگر \tilde{c}_i ها از یک نظریه به دست آمده باشند، آنگاه باید: $c_i' = c_i = \tilde{c}_i$. اما در حالت کلی و از دیدگاه محاسباتی، نمی توان انتظار داشت که این مقادیر بر هم منطبق باشند. اگر بگویم کمترین خطا - به مفهوم نرم اقلیدسی - را دارد، اکنون e_i خطای موضعی وابسته به c_i را به صورت $e_i = c_i - c_i'$ تعریف می کنیم و با استفاده از مجموعه ی این تعاریف، برای عملیات تجزیه و ترکیب، ماتریس هایی ساده و نواری به دست می آوریم. [۲]

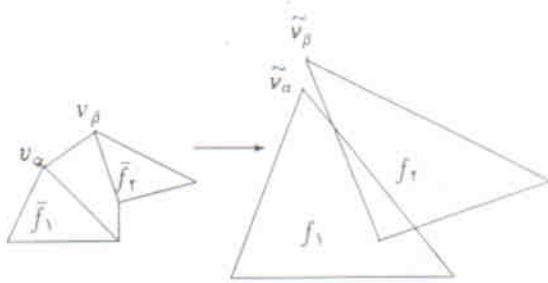
نظریه «دو»

این عمل یک روش «گوشه برشی» برای رویه های سه بعدی است. [۶] در این نظریه، شکل وجوه رویه دلخواه است. می توان نشان داد که نظریه «دو» تعمیمی از روش چیکین است. برای این منظور روش چیکین را در دو مرحله انجام می دهیم. ابتدا هر «پاره خط» از چندضلعی کنترلی به پاره خط جدیدی تبدیل می شود. این پاره خط جدید از انقباض پاره خط اولیه با ضریب α به مرکز آن ایجاد می شود. در مرحله ی دوم پاره خط هایی که قبل از نظریه به هم متصل بوده اند، با «پاره خطی جدید» به هم متصل می کنند. مثلاً در شکل ۳، (c_0, c_1) به «پاره خط $(\tilde{c}_0, \tilde{c}_1)$ تبدیل شده است و در مرحله ی بعد پاره خط $(\tilde{c}_0, \tilde{c}_1)$ با «پاره خط $(\tilde{c}_1, \tilde{c}_2)$ به $(\tilde{c}_0, \tilde{c}_2)$ متصل شده است. ضریب α باید چنان انتخاب کرد که منحنی حدی C^1 باشد. به طور مثال، $\alpha = \frac{1}{4}$ در قاعده ی چیکین به منحنی حدی C^1 منجر می شود.

در نظریه «دو»، عملیات انجام شده روی «پاره خط» در چندضلعی کنترلی به روی «وجه» در چندوجهی کنترلی تعمیم می یابد. عمل انقباض روی وجه، و عمل اتصال با استفاده از «وجه



شکل ۶. تعریف «دو» در یک شکل ساده.



شکل ۷. عدم اتصال در وجوه حاصل از انبساط وجوه F_F .

مختصات رئوس ارائه شده است. در نمونه‌ی سمت راست، مشاهده می‌شود که وجوه f_1 و f_2 دقیقاً به یکدیگر وصل نشده‌اند. به عبارت دیگر، برای V دو نامزد مختلف \bar{V}_α و \bar{V}_β وجود آمده‌اند. این حالت کاملاً مشابه وضعیتی است که در وارون چپکین در شکل ۲ وجود داشته است.

پس در حالت کلی می‌توان انتظار داشت که پس از عمل انبساط وجوه F_F برای هر رأس در V نامزدهای متعددی (وابسته به تعداد وجوهی که به آن رأس متصل‌اند) ظاهر شوند. همانند وارون چپکین، از میانگین مختصات این نامزدها برای تعیین مختصات هر رأس استفاده می‌کنیم. با توجه به ملاحظات بالا، انجام مراحل کلی زیر برای وارون تعریف «دو» ضروری است:

- یافتن وجوه F_F در N_F ؛
- انبساط وجوه F_F ؛
- تعیین نامزدها برای تمامی رئوس در V ؛
- تعیین مختصات رئوس V .

ذکر این نکته لازم است که فرض کرده‌ایم (NF, NV) از تغییر مکان رئوس یک رویه‌ی حاصل از تعریف به دست می‌آید (شکل ۸). باید توجه داشت که تعریف دقیق ممکن است از تبدیل (\bar{F}, \bar{V}) به (\bar{NF}, \bar{NV}) به دست آمده باشد. در حالی که وارون تعریف از نمودار موجود (NF, NV) با یک وارون‌سازی به (F, V) تبدیل می‌شود. به این ترتیب، هر چند رویه‌ی (NF, NV) از لحاظ مختصات رئوس آزاد است، از لحاظ تعداد، نوع و نحوه‌ی اتصال وجوه باید با تعریف «دو» قابل تولید باشد. این ضرورت در اکثر کاربردهای عملی توجیه‌پذیر است.

● وجه-وجه: مجموعه‌ی وجوه جدید حاصل از وجوه F یعنی \bar{f}_i ‌ها را با F_F نمایش می‌دهیم. وجوه $\bar{f}_1, \bar{f}_2, \bar{f}_3, \bar{f}_4$ و \bar{f}_5 در شکل ۵ از این نوع‌اند.

● وجه-یال: اگر \bar{f}_i به f_j با یال e در نمودار (F, V) متصل باشد، آنگاه بین وجوه \bar{f}_i و \bar{f}_j در (NF, NV) وجه \bar{e} را چنان قرار می‌دهیم که \bar{f}_i با \bar{e} و \bar{f}_j با \bar{e} مجاور باشند. بنابراین به‌ازای هر یال غیر مرزی در (F, V) یک وجه جدید در NF ایجاد می‌شود. این وجوه را با F_E نمایش می‌دهیم.

● وجه-رأس: به‌ازاء هر رأس v در (F, V) یک وجه جدید \bar{v} نسبت می‌دهیم به طوری که رأس‌های جدید \bar{v}_i متناظر با v به این وجه متصل باشند. این دسته از وجوه را با F_V نمایش می‌دهیم.

توجه: به سادگی می‌توان نشان داد:

۱. هر وجه در F_E چهارضلعی است؛

۲. تعداد اضلاع هر وجه در F_V برابر است با درجه‌ی رأس متناظر با آن در V .

پس از تعیین این وجوه عمل تعریف کامل می‌شود. به عبارت دیگر داریم:

$$NF = F_F \cup F_E \cup F_V$$

وارون تعریف «دو»

با وارون‌سازی تعریف «دو»، به تفکیک‌پذیری رویه‌ها با توپولوژی دلخواه دست یافتیم. دیدیم که چگونه با تعریف «دو» می‌توان رویه‌ی (F, V) را به رویه‌ی ظریف (NF, NV) تبدیل کرد. NF از اجتماع سه نوع وجه مختلف حاصل می‌شود که با F_F (وجه حاصل از وجه، F_E (وجه یالی)، و F_V (وجه رأسی) نمایش داده می‌شوند. برای وارون این تعریف فرض بر این است که (NF, NV) داده شده و تعیین یک (F, V) مناسب مورد نظر است. می‌دانیم که هر وجه F_F از انقباض یک وجه F نسبت به مرکز آن ایجاد می‌شود. بنابراین اگر F_F در دست باشد و برای هر وجه آن عمل انبساط نسبت به مرکز را انجام دهیم، وجوه F حاصل می‌شوند. ولی در حالت کلی، لزومی ندارد که (NF, NV) مستقیماً حاصل از عمل تعریف باشد. به عبارت دقیق‌تر، می‌توان این گونه فرض کرد که مختصات رأس‌های NV پس از عمل تعریف، به هر دلیلی (از جمله محاسباتی)، دقیقاً همان مختصات رأس‌های حاصل از تعریف نباشند و باید انتظار داشت که این تغییر موجب عدم اتصال دقیق وجوه F ، حاصل از انبساط وجوه F_F شود (شکل‌های ۶ و ۷).

در شکل ۶ یک رویه‌ی ساده پس از عمل تعریف مشخص شده است که در آن وجوه f_1 و f_2 به \bar{f}_1 و \bar{f}_2 و رأس v به \bar{v}_α و \bar{v}_β تبدیل شده‌اند. در نمونه‌ی سمت چپ شکل ۷، رویه‌ی ظریف پس از تغییر

رأسی ندارند — بین \bar{f} و \bar{f}_1 قرار دارد. بنابراین، \bar{f}_1 نیز به F_F متعلق است (در واقع قبل از نظریف، \bar{f} و \bar{f}_1 دو وجه مجاور از رویه بوده‌اند که به هنگام نظریف وجه g_1 به یال مشترک این دو وجه منسوب شده است). در مورد \bar{f}_2 ، \bar{f}_2 و \bar{f}_3 نیز می‌توان به همین نتیجه رسید. به این ترتیب، g_1 ، g_2 ، g_3 و g_4 وجوه یالی متعلق به F_E اند.

با این ملاحظات، مسئله‌ی یافتن عناصر F_F را به مسئله‌ی پیمایش^۵ نمودار متناظر می‌کنیم. ابتدا نمودار G_F را چنان تعریف می‌کنیم که رئوس آن متناظر با وجوه F_F (با \bar{f})، وجه اولیه به‌عنوان ریشه) و یال‌های آن متناظر با وجوه F_E باشند. در شکل ۱۰ نمودار G_F منسوب به شکل ۹ ارائه شده است. در این صورت مسئله‌ی یافتن عناصر F_F با پیمایش رئوس این نمودار معادل می‌شود، و می‌توان با جستجوی اول سطح (یا اول عمق) رئوس G_F ، به F_F دست یافت. [۷] عملیات اصلی در این پیمایش از مرتبه‌ی $O(ne)$ است که در آن ne تعداد یال‌های G_F است. با توجه به این که تعداد یال‌ها در G_F با تعداد عناصر F_E یکسان است، و از آنجا که

$$|F_E| \leq |NF| \leq |NV|$$

پس $ne \leq |NV|$ و در نتیجه پیمایش طرح شده، نسبت به تعداد رئوس کنترلی رویه‌ی نظریف، خطی است.

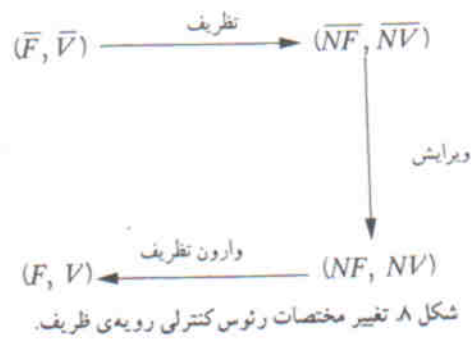
انبساط وجوه F_F

به‌منظور تعیین وجوه F_F ، باید وجوه F_F را نسبت به مرکز آن منبسط کنیم (وارون عمل انقباض). در این مورد از نمادهای زیر استفاده می‌شود:

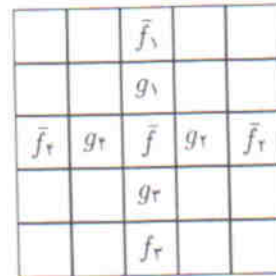
- \bar{f} برای یک وجه F_F با m ضلع؛
- $\bar{v}_1, \dots, \bar{v}_m$ برای رئوس وجه \bar{f} ؛
- \bar{d} برای مرکز \bar{f} ؛
- f برای وجه حاصل از انبساط \bar{f} ؛
- v_1, \dots, v_m برای رئوس وجه f ؛
- d برای مرکز f ؛
- a_m برای ضریب هموارسازی منسوب به f (وابسته به m). لازم به ذکر است که ضریب انبساط \bar{f} برابر $\frac{1}{a_m}$ است. با توجه به این نمادها ملاحظه می‌کنیم:
- مرکز f و \bar{f} یکسان است، یعنی $d = \bar{d}$ ؛
- رابطه‌ی زیر بین رئوس f و \bar{f} برقرار است:

$$v_i = \frac{1}{1-a_m} \bar{v}_i + \frac{a_m}{1-a_m} \bar{d}, \quad i = 1, 2, \dots, m \quad (6)$$

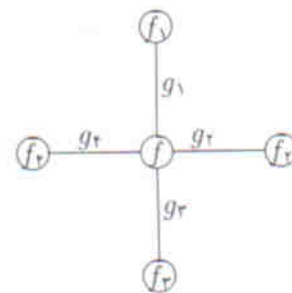
بنابراین، با در دست داشتن \bar{f} و با استفاده از رابطه‌ی ۶، رأس‌های مجاور f را می‌توان تعیین کرد.



شکل ۸ تغییر مختصات رئوس کنترلی رویه‌ی نظریف.



شکل ۹. وجوه NF.



شکل ۱۰. نمودار منسوب به NF.

یافتن وجوه F_F در NF

از آنجا که $NF = F_F \cup F_V \cup F_E$ ، با تعیین وجوه F_F در NF می‌توان به وجوه F دست یافت. اگرچه در روند عمل نظریف و با استفاده از یک ساختمان داده‌ی مناسب می‌توان این نوع وجوه را در NF علامت‌گذاری کرد، برای افزایش کارایی و نیز عدم وابستگی به نظریف (جامعیت) روشی را ارائه می‌کنیم که با در دست داشتن تنها یکی از این نوع وجوه در F_F ، بقیه‌ی وجوه را با یک جستجوی خطی تعیین می‌کند.

به همین منظور، با فرض این که $\bar{f} \in F_F$ ، می‌خواهیم بقیه‌ی عناصر F_F را در NF شناسایی کنیم. در این صورت اگر بین \bar{f} و \bar{f}_i یک وجه چهارضلعی $g \in F_E$ موجود باشد، آنگاه \bar{f}_i نیز به F_F متعلق خواهد بود. در شکل ۹ وضعیتی خاص از این حالت ارائه شده است. توجه داریم که وجه g_1 — با این تعبیر که یک یال g_1 با \bar{f} و یک یال دیگر آن با \bar{f}_1 مجاور است و \bar{f} و \bar{f}_1 هیچ نوع مجاورت یالی و

کمک یک وجه از F_E به هم مرتبط می‌شوند (شکل ۱۱). در نتیجه به‌ازاهر وجه F_E دو یال به نمودار G_C اضافه می‌شود. بنابراین ne تعداد یال‌های G_C ، دو برابر تعداد وجوه از نوع وجه-یال یعنی F_E است. پس:

$$ne = 2 |F_E| \leq 2 |NV|$$

به عبارت دیگر، عملیات اصلی برای تعیین مؤلفه‌های همبندی نمودار G_C نسبت به $|NV|$ خطی است.

تعیین رئوس V

دیدیم که کلیه رئوس NV که در یک مؤلفه همبندی G_C واقع می‌شوند، باید به یک رأس v تبدیل شوند. فرض کنید که v_1, v_2, \dots, v_r رئوس یک مؤلفه همبندی G_C و v_1, v_2, \dots, v_r رئوس متناظر آنها پس از انبساط باشند. اگر رویه‌ی (NF, NV) دقیقاً حاصل تظریف «دو» باشد، آنگاه:

$$v_1 = v_2 = \dots = v_r$$

اما عملاً v_i ها با یکدیگر تفاوت دارند. در شکل ۱۲ این عدم تطابق در یک مثال ساده مشخص شده است، که در آن v_1, v_2, v_3, v_4 باید به صورت یک رأس منطبق شوند.

اگر v_1, v_2, \dots, v_r را با میانگین آنها نامزد کنیم و آن را v بنامیم. آنگاه کمترین مجموع مربعات خطا (به صورت موضعی) به دست می‌آید. بنابراین:

$$v = \frac{1}{r} (v_1 + v_2 + \dots + v_r) \quad (7)$$

با تکرار این عمل برای تمام مؤلفه‌های همبندی G_C ، رئوس V تعیین می‌شوند. باید توجه داشت که انتخاب رابطه‌ی v برای تمام مؤلفه‌های همبندی لزوماً به بهترین انتخاب سراسری منجر نمی‌شود. ولی در عمل کارایی مناسبی دارد. با این وجود هنوز روشی که بتواند با عملیات خطی بهترین انتخاب سراسری را پیدا کند، یافت نشده است. [۳]

اکنون با ارائه‌ی چند شکل به بررسی کارایی این روش می‌پردازیم. در شکل ۱۳، سه بار عمل تظریف «دو» صورت گرفته است. در شکل ۱۴ مختصات یک رأس از آخرین شکل ۱۳ تغییر داده شده و سپس سه مرحله از وارون تظریف «دو» انجام شده است.

نمایش خطا

می‌خواهیم خطای موضعی وابسته به رابطه‌ی v را محاسبه و ذخیره کنیم تا امکان بازسازی (NF, NV) فراهم شود. به همین منظور، فاصله‌ی v تا هر رأس v_i را با d_i نمایش می‌دهیم:

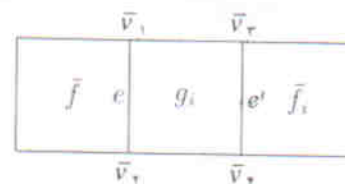
$$d_i = v_i - v, \quad i = 1, 2, \dots, r \quad (8)$$

واضح است که حجم حافظه‌ی موردنیاز برای v و d_i ها از v_i ها

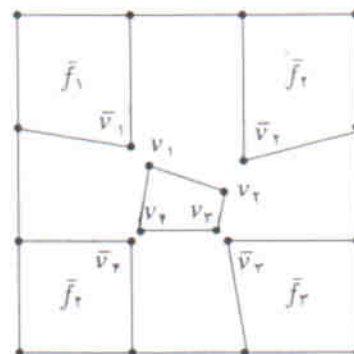
تعیین نامزدهای مختلف برای رئوس V

فرض کنید که وجوه f و g با وجه g به هم مرتبط شده باشند (شکل ۹). در این صورت یال‌های $e = (v_1, v_2)$ و $e' = (v_3, v_4)$ به هم مرتبط می‌شوند (شکل ۱۰). پس از انبساط f و g دو رأس متناظر با v_1 و v_2 و دو رأس متناظر با v_3 و v_4 باید منطبق باشند. ولی همانطور که قبلاً ذکر شد، با توجه به تغییر مکان احتمالی رئوس NV این انطباق لزوماً صورت نمی‌گیرد. در نتیجه v_1 و v_2 دو نامزد برای یک رأس و v_3 و v_4 دو نامزد برای رأس دیگر هستند. بنابراین با استخراج این گونه وضعیت‌ها در روند تعیین وجوه F_F (پیمایش رئوس G_F) می‌توان جایگزین‌های مختلف هر رأس را به دست آورد. به همین منظور نمودار G_C را می‌سازیم که رئوس آن با رئوس NV یکسان است. در هر مرحله از پیمایش G_F ، دو یال متناظر با نامزدها را برای رئوس این نمودار اضافه می‌کنیم. برای مثال، اگر قرار باشد v_1 و v_2 دو نامزد برای یک رأس و v_3 و v_4 دو نامزد برای رأس دیگر باشند، آنگاه به ترتیب یال‌های (v_1, v_3) و (v_2, v_4) را در G_C قرار می‌دهیم. پس از آن که پیمایش G_F انجام شد، نمودار G_C تکمیل می‌شود. اکنون رئوس هر مؤلفه همبندی G_C این نمودار نامزدهای یک رأس از رئوس رویه‌ی F_F هستند. برای تعیین مؤلفه‌ی همبندی یک نمودار نیز می‌توان مجدداً از جستجوی اول سطح استفاده کرد. تعداد عملیات اصلی در حل این مسئله از مرتبه‌ی $O(ne)$ است که در آن ne تعداد یال‌های G_C است. [۷]

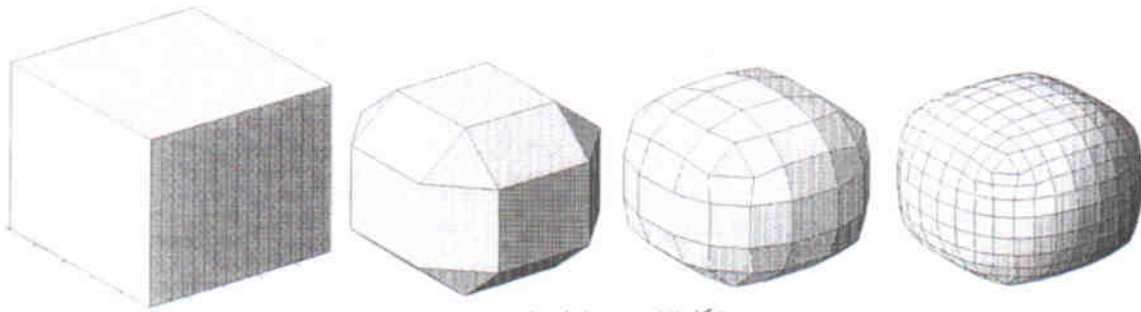
لازم به ذکر است که در هر مرحله از پیمایش G_F ، دو وجه از F_F با



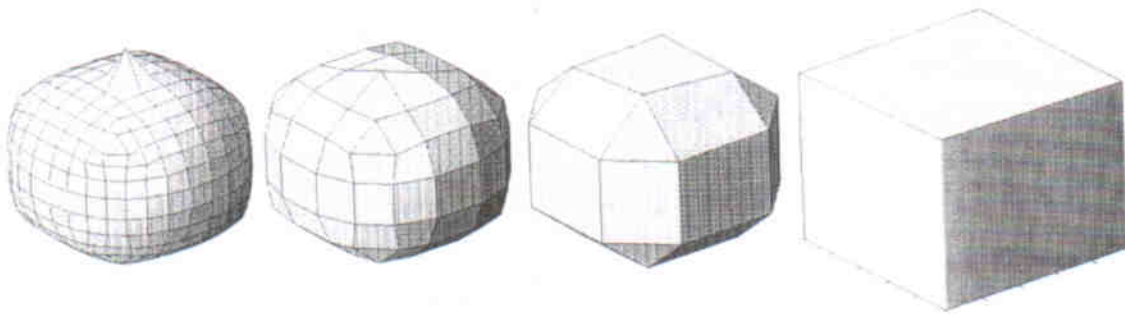
شکل ۱۱. نحوه‌ی مجاورت f, g_i, e, e' .



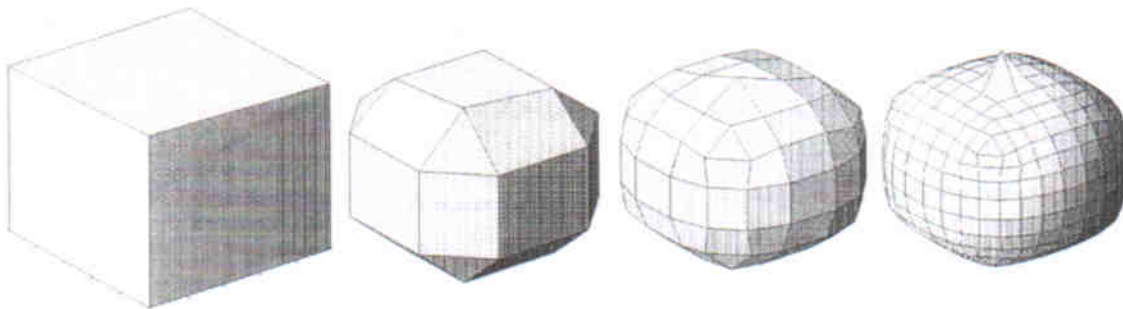
شکل ۱۲. مثالی ساده از عدم تطابق v_i ها.



شکل ۱۳. سه مرحله از تطریف «دو».



شکل ۱۴. عمل وارون تطریف «دو» پس از تغییر مختصات بعضی از رئوس.



شکل ۱۵. بازسازی کامل رویه‌ی شکل ۱۴.

ستون‌های Q^j پایه‌ی برای خطا تشکیل می‌دهند.^[۱] بنابراین دستگاه زیر، سازگار و به سادگی قابل حل است:

$$Q^j \begin{bmatrix} e_1 \\ e_2 \\ \vdots \\ e_{l-1} \end{bmatrix} = \begin{bmatrix} d_1 \\ d_2 \\ \vdots \\ d_l \end{bmatrix} \quad (9)$$

به عبارت دیگر، رئوس $(\bar{v}_1, \bar{v}_2, \dots, \bar{v}_l)$ به رأس ۲ و عوامل خطای $(e_1, e_2, \dots, e_{l-1})$ تبدیل شده‌اند. این عوامل را می‌توان ضرایب موضعی موجک تلقی کرد. با بهره‌گیری از این عوامل می‌توانیم رویه‌ی اولیه، یعنی (NF, NV) را به‌طور کامل بازسازی کنیم. بدین منظور، ابتدا از رابطه‌ی ۹ عوامل (d_1, d_2, \dots, d_l) را محاسبه می‌کنیم. در مرحله‌ی بعد، با استفاده از رابطه‌ی ۸، \bar{v}_i ها و

بیشتر است. برای کاهش حجم d_i ها، در مقایسه با نمادهای قبلی، داریم:

$$\begin{aligned} C^j &= [v] \\ C^{j+1} &= [v_1, v_2, \dots, v_l]^T \\ P^j &= [1, 1, \dots, 1]^T \end{aligned}$$

حال ماتریس Q^j را چنان تعریف می‌کنیم که ستون‌های آن پایه‌ی برای فضای پوچ P^{jT} باشد. انتخاب زیر بسیار مناسب است:

$$Q_{l \times (l-1)}^j = \begin{bmatrix} 1 & \dots & \dots & \dots \\ -1 & 1 & \dots & \dots \\ \dots & \dots & -1 & \dots \\ \vdots & \vdots & \vdots & \vdots \\ \dots & \dots & \dots & 1 \\ \dots & \dots & \dots & -1 \end{bmatrix}$$

روی‌ی‌ی نظریف، متناظر با وجوه روی‌ی‌ی خشن را به پیمایش اول سطح نمودار بازسازی کردیم. پس از انبساط این وجوه و یافتن نامزدهایی برای رتوس روی‌ی‌ی خشن، هر رأس روی‌ی‌ی خشن را میانگین رتوس نامزد شده‌ی متناظر با آن رأس قرار دادیم. این میانگین‌گیری بهترین انتخاب از نقطه نظر نرم اقلیدسی است. همچنین پای‌ی‌ی مناسب برای محاسبه‌ی ضرایب موجک ارائه کردیم که در بازسازی روی‌ی‌ی‌ها بسیار مؤثر واقع می‌شود. مثال‌های ارائه شده، نشان‌دهنده‌ی امکان‌پذیری و کارایی این روش است.

با استفاده از رابطه‌ی ۶، آنها را تعیین می‌کنیم. شکل ۱۵ بازسازی کامل روی‌ی‌ی شکل ۱۴ را با استفاده از عوامل خطا نشان می‌دهد.

نتیجه‌گیری

به منظور وارون‌سازی نظریف «دو» و با استفاده از تعمیم وارون چیکین، به تفکیک‌پذیری چندگانه‌ی کارایی برای روی‌ی‌ی‌ها با توپولوژی دلخواه دست یافتیم. در راه انجام این کار، یافتن وجوه

- 1-2, pp. 29-67 (2000).
3. Lounsbery, M. DeRose, T.D. and Warren, J. "Multiresolution analysis for surface of arbitrary topological type," *ACM Transactions on graphics*, **16**(1), pp. 34-73 (1997).
4. Chaikin, G. "An algorithm for high speed curve generation," *Computer Graphics and Image Processing*, **3**, pp. 346-349 (1974).
5. Riesenfeld, R. "On Chaikin's algorithm," *Computer Graphics and Image Processing*, **4**, pp. 304-310 (1975).
6. Doo, D.W.H. "A subdivision algorithm for smoothing down irregularly shaped polyhedrons," *In Proceedings of the Interactive Techniques in Computer Aided Design- Conference*, pp. 157-165, Bologna, Italy (1978).
7. Brassard, G. and Bratley, G. *Fundamentals of algorithms*. Prentice-Hall Inc. (1996).

1. subdivision
2. biorthogonal
3. least squares
4. Chaikin, G.
5. traversing
6. connected component

پانوش‌ها

منابع

1. Samavati, F.F. and Bartels, R.H. "Multiresolution curve and surface representation by reversing subdivision rules," *Computer Graphics Forum*, **18**(2), pp. 97-120 (1999).
2. Bartels, R.H. and Samavati, F.F. "Reversing subdivision rules: local linear conditions and observations on inner products," *Journal of Computational and Applied Mathematics*, **119**, Issues